



# بررسی تأثیر حضور آلاینده‌های سوخت آند بر عملکرد پیل سوختی غشاء پلیمری

عباس مرادی بیلندي<sup>۱</sup>، محمد جعفر کرماني<sup>۲\*</sup>، هادی حیدری<sup>۳</sup>، محمد مهدی عبداله‌زاده سنگروودی<sup>۴</sup>

<sup>۱</sup>دانشکده مهندسی مکانیک، دانشگاه صنعتی امیرکبیر، تهران، ایران

<sup>۲</sup> گروه مهندسی انرژی، دانشگاه صنعتی قم، قم، ایران

<sup>۳</sup> دانشکده مهندسی مکانیک، دانشگاه گیلان، رشت، ایران

**خلاصه:** در این پژوهش، شبیه سازی جریان تک فاز و دوفاز، هم-دما، گذرا و در حالت دوبعدی برای سمت آند پیل سوختی غشاء پلیمری صورت گرفته است. در این تحقیق، ابتدا اثر ورود مونواکسید کربن به همراه هیدروژن ورودی به آند بر عملکرد پیل سوختی به صورت پایا مورد بررسی قرار گرفته است. سپس رفتار گذزای پیل سوختی تحت مسمومیت مونواکسید کربن و تأثیر تزریق هوا به هیدروژن بر میزان بازگشت چگالی جریان از دست رفته بررسی شده است. به منظور اعتبارسنجی مدل، نتایج عددی به دست آمده با نتایج آزمایشگاهی مقایسه شده اند و تطابق قابل قبولی مشاهده شده است. بر اساس نتایج، حتی در غلظت های بسیار کم مونواکسید کربن نیز چگالی جریان به شدت کاهش می یابد (کاهش حدود ۷۰٪ چگالی جریان در غلظت ۱۰ ppm در حدود ۳۰ دقیقه). تزریق مقدار کمی هوا به هیدروژن ورودی منجر به بازگشت سریع چگالی جریان از دست رفته می گردد (بازگشت حدود ۸۰٪ چگالی جریان اولیه در مدت ۲ دقیقه در اثر تزریق ۵٪ هوا در غلظت ۵۳ ppm مونواکسید کربن). افزودن درصد هوای بالاتر تنها منجر به بهبود ناچیزی در عملکرد پیل سوختی می گردد. ر عملکرد پیل سوختی می گردد.

**کلمات کلیدی:** آند پیل سوختی غشاء پلیمری جریان دوفاز شبیه سازی عددی آلاینده‌گی مونواکسید کربن تزریق هوا

## اصلاح سوخت‌های هیدروکربنی<sup>۱</sup> (عمدتاً گاز طبیعی)، آلودگی سوخت

## ۱- مقدمه

هیدروژن توسط ناخالصی‌ها اجتناب‌ناپذیر است. استفاده از هیدروژن با میزان خلوص بالا به عنوان سوخت پیل‌های سوختی غشاء پلیمری محدودیت‌های فراوانی از جمله کند بودن سرعت فرایند سوخت‌گیری مجدد، سنگین بودن مخازن هیدروژن قابل حمل و غیرقابل حمل و نبود زیرساختی جهت تولید هیدروژن و غیره را به دنبال دارد؛ بنابراین معمولاً از سوخت‌های هیدروکربنی استفاده می‌شود. به منظور کاهش غلظت کلی ناخالصی‌ها، فرایندهای تمیز کردن<sup>۲</sup> و خلوص سازی<sup>۳</sup> (تصفیه) بعد از فرایند اصلاح هیدروکربن‌ها انجام می‌گیرد که منجر به افزایش هزینه نیز می‌شود. با این حال، وجود ناخالصی مونواکسید کربن حتی در میزان غلظت‌های خیلی پایین نیز منجر به اختلال در عملکرد پیل سوختی می‌شود.<sup>[۱]</sup> پیوند بین مونواکسید کربن و اتم‌های پلاتین روی سطح کاتالیست بسیار قوی بوده و از رسیدن هیدروژن به سطح کاتالیست جلوگیری می‌کند و لذا باعث کاهش

1 Reforming of Hydrocarbon Fuel

2 Cleaning

3 Purification

امروزه مصرف بیش از حد سوخت‌های فسیلی و به دنبال آن بروز آلودگی‌های زیست‌محیطی، گرم شدن کره زمین و کاهش منابع نفتی باعث شده است که تقاضا برای یافتن فناوری‌های جدید جهت تولید انرژی‌های پاک و جایگزین افزایش پیدا کند. یکی از این فناوری‌ها، پیل‌های سوختی غشاء پلیمری می‌باشند که به دلیل چگالی توان بالا و همچنین دمای عملکردی پایین این پیل‌های سوختی، استفاده از آن‌ها در کاربردهای مسکونی و صنعت حمل و نقل روزبه روز در حال گسترش می‌باشد؛ بنابراین، بهبود عملکرد و افزایش دوام و همچنین کاهش هزینه ساخت این نوع پیل‌های سوختی به منظور تجاری‌سازی آن‌ها ضرورت و اهمیت فراوانی پیدا کرده است. با این حال، موانع زیادی در مسیر رسیدن به این مهم وجود دارد. یکی از این موانع حضور ناخالصی مونواکسید کربن در سوخت هیدروژن ورودی به آند می‌باشد. به دلیل پایین بودن دمای کاری پیل سوختی غشاء پلیمری و مسائل عملی و فنی مرتبط با روش اقتصادی تولید سوخت از طریق

\* نویسنده عهده دار مکاتبات: mkermani@aut.ac.ir



مسومومیت بر عملکرد پیل سوختی غشاء پلیمری ارائه شدند. او تجربه همکاران [۱۲] تأثیر مسومومیت آند را بر روی سه نوع کاتالیست مختلف به صورت تجربی بررسی و مقایسه نمودند. آنها دریافتند که عملکرد پیل سوختی بستگی زیادی به غلظت مونواکسید کربن و نوع کاتالیست آند دارد. مورسی و همکاران [۱۳] عملکرد پیل سوختی را در غلظت‌های مختلف مونواکسید کربن به صورت گذرا بررسی کردند. آنها همچنین دو نوع لایه نفوذ گاز<sup>۱</sup> مورد مطالعه قراردادند و مشاهده کردند که نوع لایه نفوذ گاز تأثیری بسیار زیادی بر عملکرد پیل سوختی تحت اثر مسومومیت می‌گذارد. کیوی و همکاران [۱۴] با انجام آزمایشات تجربی نشان دادند که حضور مقدار کمی مونواکسید کربن در سوخت آند نه تنها باعث مسومومیت کاتالیست آند می‌شود بلکه مونواکسید کربن می‌تواند با عبور از قسمت غشاء به سمت کاتد رفته و بر روی سطح کاتالیست کاتد نیز جذب شود. مورسی و همکاران [۱۵] مسومومیت کاتالیست آند را در غلظت‌های نسبتاً بالا مونواکسید کربن به صورت تجربی بررسی و داده‌های تجربی مربوط به حالت گذرا و پایا را گزارش کردند. نتایج تجربی آنها نشان داد که فشار و دمای کاری بالا میزان مسومومیت کاتالیست آند را به شدت کاهش می‌دهد.

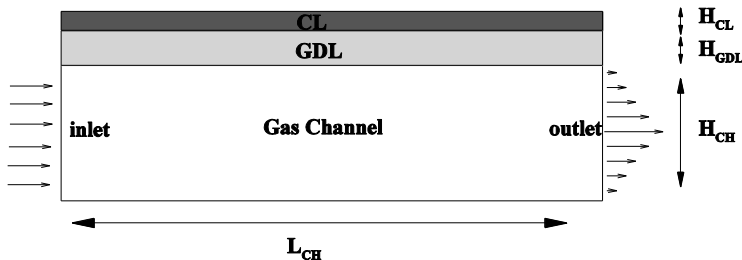
با بررسی پژوهش حاضر و مقایسه آن با پژوهش‌های پیشین صورت گرفته در زمینه مسومومیت کاتالیست آند و روش‌های کاهش اثر مسومومیت آند مشاهده می‌شود که برخلاف ادبیات گذشته، پژوهش حاضر یک پژوهش جامع و کامل بوده که در آن تأثیر حضور ناخالصی مونواکسید کربن در سوخت هیدروژن ورودی به آند به دو صورت پایا و گذرا از طریق شبیه‌سازی دینامیک سیالات محاسباتی جریان دوفازی سیال درون پیل سوختی به صورت دوبعدی مورد بررسی قرار گرفته است و همچنین در انتهای اثر تزریق مقادیر مختلفی از هوا به سوخت مسومومشده به منظور کاهش اثر مخرب مسومومیت کاتالیست آند مورد مطالعه قرار گرفته است.

## ۲- مدل سازی ریاضی

در این قسمت میدان محاسباتی مدل دوبعدی، فرضیات استفاده شده در شبیه‌سازی عددی، واکنش‌های سطحی صورت گرفته در قسمت لایه کاتالیستی آند برای ورود ناخالصی مونواکسید کربن به سوخت هیدروژن ورودی به آند و همچنین واکنش‌های صورت گرفته

میزان واکنش اکسایش هیدروژن می‌شود (که به این پدیده مسومومیت کاتالیست گفته می‌شود). با این حال، این پدیده به آهستگی در طول زمان اتفاق می‌افتد؛ بنابراین، درک رفتار گذرا مسومومیت کاتالیست ضروری و مهم می‌باشد [۲].

پژوهش‌های بسیار زیادی در جهت بررسی مسومومیت آند و تأثیر آن بر عملکرد پیل سوختی ارائه شده اند [۳-۵]. اشپرینگر و همکاران [۶ و ۷] مسومومیت کاتالیست آند را با استفاده از واکنش‌های الکتروشیمیایی درون پیل سوختی توسط یک مدل پایا و شبیه دوبعدی بررسی کردند که این مدل جزء اولین مدل‌ها در زمینه مسومومیت آند به شمار می‌رود. بسچوک و لی [۸] یک مدل پایا و یک بعدی برای سمت آند پیل سوختی غشاء پلیمری توسعه دادند که شامل یک مدل سینتیکی جهت مدل کردن پدیده مسومومیت کاتالیست آند به همراه تأثیر تزریق هوا به منظور کاهش اثر مسومومیت بوده است. مدل سینتیکی استفاده شده توسط بسچوک و لی [۸] مشابه مدل سینتیکی اشپرینگر و همکاران [۶] می‌باشد اما پارامترهای سینتیکی مربوط به ثوابت واکنش‌ها در دو مدل متفاوت می‌باشند؛ چرا که این ثوابت از داده‌های تجربی متفاوتی حاصل شده‌اند. همچنین، مدل بسچوک و لی شامل واکنش‌های اکسیژن با هیدروژن و مونواکسید کربن جهت بررسی اثر تزریق هوا می‌باشد. ژو و لیو [۹] یک مدل پایا و سه بعدی بر پایه مدل ارائه شده توسط اشپرینگر و همکاران [۷] به منظور بررسی اثر مسومومیت آند توسعه دادند و نتایج حاصل را با نتایج مدل یک بعدی متناظر مقایسه کردند. آنها همچنین یک بررسی پارامتری از طریق تغییر پارامترهای طراحی و فیزیکی پیل سوختی گزارش کردند. چو و همکاران [۱۰] یک مدل یک بعدی و گذرا جهت بررسی اثر مسومومیت در طول زمان بر پایه مدل توسعه داده شده توسط اشپرینگر و همکاران [۶] ارائه کردند. آنها دریافتند که با گذشت زمان مقدار هیدروژن بر روی سطح کاتالیست کاهش می‌یابد و لذا عملکرد پیل سوختی نیز دچار افت می‌شود. همین گروه [۱۱] با توسعه پژوهش قبلی [۱۰] تأثیر مسومومیت آند بر میزان اشباع آب مایع درون پیل سوختی را بررسی نمودند. بر اساس نتایج مشاهده شد که افزایش غلظت مونواکسید کربن باعث کاهش مقدار اشباع آب مایع می‌شود. در واقع، توزیع اشباع آب مایع وابستگی شدیدتری به غلظت مونواکسید کربن در مقایسه با رقیق شدن هیدروژن دارد. به طور مشابه، مطالعات تجربی زیادی در جهت درک اثر



شکل ۱: شماتیک میدان محاسباتی دوبعدی پیل سوختی غشاء پلیمری

Fig. 1: A two-dimensional schematic view of the computational domain of PEMFC

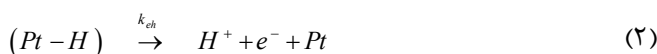
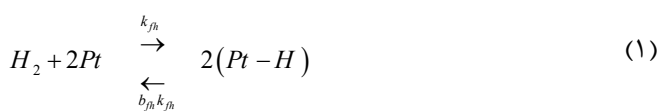
- الکترودها به صورت محیط متخلخل همگن و ایزوتropیک<sup>۱</sup> فرض شده‌اند و لذا خاصیت‌هایی از قبیل تخلخل و قابلیت نفوذپذیری الکترودها یکنواخت در نظر گرفته شده‌اند.

• از افتهای اهمی درون صفحه دوقطبی (جمع کننده جریان<sup>۲</sup>) صرف‌نظر شده است.

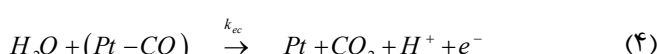
• غشاء غیرقابل نفوذ فرض شده است.

• دما در کل پیل سوختی ثابت و یکنواخت فرض شده است.

۳-۲- واکنش‌های سینتیک در سمت آند پیل سوختی غشاء پلیمری هنگامی که هیدروژن خالص به عنوان سوخت وارد کanal سمت آند پیل سوختی می‌شود، واکنش‌هایی که در قسمت لایه کاتالیستی اتفاق می‌افتد شامل واکنش جذب مولکول‌های هیدروژن بر روی سطح کاتالیست و واکنش اکسایش هیدروژن جذب شده خواهد بود. که این واکنش‌ها به صورت روابط (۱) و (۲) می‌باشند [۱۶-۱۹].



با حضور ناخالصی مونواکسید کربن همراه سوخت هیدروژن ورودی به آند، این ناخالصی به سرعت روی سطح کاتالیست جذب می‌شود (رابطه (۳)). مونواکسید کربن جذب شده در اضافه ولتاژهای بالا با مولکول‌های آب واکنش داده و به مولکول کربن دی‌اکسید اکسید می‌شود (رابطه (۴)) [۱۶-۱۹].



۱ Isotropic

۲ Current Collector

در اثر تزریق هوا به سوخت مسموم شده ارائه می‌گردد و سپس به شرح معادلات حاکم بر جریان دوفاز، معادلات کمکی استفاده شده در مدل‌سازی و همچنین شرایط مرزی پرداخته می‌شود.

## ۱-۲- میدان محاسباتی مدل

شکل ۱ شماتیک میدان‌های محاسباتی در نظر گرفته شده جهت شبیه‌سازی سمت آند پیل سوختی غشاء پلیمری را در حالت دوبعدی نشان می‌دهد که شامل کanal گاز ورودی به آند، لایه نفوذ گاز و لایه کاتالیستی می‌باشد.

سوخت ورودی به آند که نقش واکنش‌دهنده را در واکنش الکتروشیمیایی درون پیل سوختی دارد، وارد کanal آند شده و مقداری از آن با عبور از الکترودهای متخلخل در قسمت لایه کاتالیستی مصرف می‌شود و باقیمانده سوخت از خروجی کanal خارج می‌شوند. کanal‌های توزیع به شکل‌های مختلفی نظیر مارپیچی و مستقیم طراحی می‌شوند. در این تحقیق فرض شده است که کanal‌ها به صورت مستقیم بوده و به دلیل آن که عدد رینولدز جریان بر حسب قطر هیدرولیکی مقطع ورودی کanal در تمامی موارد کم می‌باشد ( $Re < 40$ )، رژیم جریان آرام در نظر گرفته شده است. همچنین جریان سیال به صورت گذرا و غیرقابل تراکم اما با چگالی متغیر در نظر گرفته شده است. عمدتاً به دلیل تغییر ترکیب محلول گازی، چگالی جریان متغیر است.

## ۲-۲- فرضیات مدل‌سازی

در مدل‌سازی‌های عددی صورت گرفته در این پژوهش، فرضیات زیر لحاظ گردیده است:

- واکنش‌دهنده‌ها و فراورده‌ها به صورت مخلوط گاز ایده‌آل فرض شده‌اند.

• با توجه به سرعت پایین سیال درون پیل سوختی، رژیم جریان آرام در نظر گرفته شده است.

$$\rho_{pt} \frac{\partial \theta_H}{\partial t} = k_{fh} P_{H_2} (1 - \theta_{CO} - \theta_O - \theta_H)^n - b_{fh} k_{fh} (\theta_H)^n - 2\theta_H k_{eh} \sinh \left( \frac{\eta_a}{b_h} \right) - k_{oh} \theta_H^n \theta_O \quad (8)$$

$$\rho_{pt} \frac{\partial \theta_{CO}}{\partial t} = k_{fc} P_{CO} (1 - \theta_{CO} - \theta_O - \theta_H)^n - b_{fc} k_{fc} \theta_{CO} - k_{ec} \theta_{CO} e^{\frac{\eta_a}{b_{co}}} - k_{oc} \theta_O \theta_{CO} \quad (9)$$

$$\rho_{pt} \frac{\partial \theta_O}{\partial t} = k_{fo} P_{O_2} (1 - \theta_{CO} - \theta_O - \theta_H)^n - b_{fo} k_{fo} (\theta_O)^n - k_{oh} \theta_H^n \theta_O - k_{oc} \theta_{CO} \theta_O \quad (10)$$

در معادلات تعادلی فوق، پارامتر  $n$  بیانگر مرتبه واکنش می‌باشد. این پارامتر از طریق انجام آزمایش‌های تجربی محاسبه می‌شود. همچنین در این معادلات،  $\theta$  بیانگر کسر پوششی اجزاء (در واکنش‌های سطحی متغیری به نام کسر پوششی برای هر یک از اجزاء جذب شده بر روی سطح کاتالیست تعریف می‌شود که این متغیر بیانگر کسری از سطح لایه کاتالیستی است که توسط گونه جذب شده پوشیده شده باشد)، ثابت نرخ واکنش و  $b$  ثابت تعادلی واکنش می‌باشد. مقادیر فشار جزئی اجزاء موجود در روابط تعادلی فوق از طریق حل معادلات انتقال اجزاء گازی برای پیل سوختی مسمومشده با مونواکسید کربن به دست می‌آید که این معادلات در بخش معادلات حاکم با جزئیات کامل تشریح می‌گردد. مقادیر  $b_H$  و  $b_{CO}$  برابر  $\frac{RT}{\alpha_{co} F}$  و  $\frac{RT}{\alpha_h F}$  می‌باشند که  $\alpha_{CO}$  و  $\alpha_H$  به ترتیب شبیه تافل<sup>۱</sup> برای واکنش‌های اکسایش هیدروژن و مونواکسید کربن می‌باشد. همچنین در روابط (۸) و (۹)، مقادیر  $k_{fh}$  و  $b_{fc}$  در حالت کلی به دو صورت مقدار ثابت و یا تابعی از کسر پوششی کربن مونواکسید به شکل روابط زیر بیان می‌شوند [۶].

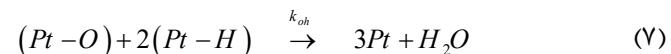
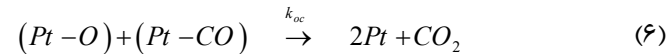
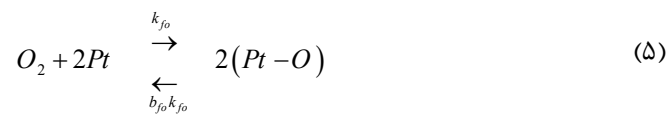
$$b_{fc} = b_{fc0} \exp \left[ \frac{\delta(\Delta G_{CO})}{RT} \theta_{CO} \right] \quad (11)$$

$$k_{fh} = k_{fh0} \exp \left[ - \frac{\delta(\Delta E_H)}{RT} \left( 1 - \exp \left( \frac{-p\theta_{CO}}{1 - \theta_{CO}} \right) \right) \right] \quad (12)$$

در روابط (۱۱) و (۱۲)،  $b_{fc0}$  و  $k_{fh0}$  مقادیر  $b_{fc}$  و  $k_{fh}$  در حالت  $\theta_{CO} = 0$  تغییرات انرژی آزاد جذب مونواکسید کربن در حالت تغییر  $\theta_{CO}$  از صفر تا بیشترین مقدار پوشش سطح و  $\delta(\Delta E_H)$  تغییرات انرژی فعال سازی واکنش جذب هیدروژن نزدیک به مکان‌های تجمع مونواکسید کربن می‌باشد [۶].

۱ Tafel Slope

واکنش جذب مولکول مونواکسید کربن بر روی سطح کاتالیست (که اصطلاحاً به آن مسمومیت لایه کاتالیستی گفته می‌شود) منجر به کاهش سطح در دسترس کاتالیست جهت انجام واکنش اکسایش هیدروژن شده و لذا چگالی جریان خروجی پیل سوختی کاهش می‌یابد. با افزودن درصد بسیار کمی اکسیژن یا هوا به سوخت مسمومشده با مونواکسید کربن، اثر مخرب مسمومیت آند به میزان قابل توجهی کاهش پیدا می‌کند. با تزریق اکسیژن یا هوا به سوخت مسمومشده، مولکول‌های اکسیژن مطابق واکنش (۵) روی سطح کاتالیست جذب می‌شوند. مولکول اکسیژن جذب شده ممکن است با مونواکسید کربن جذب شده واکنش داده و کربن دی‌اکسید تولید شود (واکنش (۶)) و یا ممکن است با اتم هیدروژن جذب شده واکنش دهد که منجر به تولید مولکول آب شود (واکنش (۷)). این واکنش‌ها به صورت زیر می‌باشند [۸، ۹ و ۱۰].



واکنش اکسیژن جذب شده با مونواکسید کربن جذب شده (واکنش (۶)) باعث حذف مونواکسید کربن جذب شده از سطح کاتالیست می‌شود که منجر به افزایش سطح فعال الکتروشیمیایی کاتالیست جهت انجام واکنش اکسایش هیدروژن و بازیابی توان از دست رفته در اثر مسمومیت خواهد شد. شایان ذکر است که در این پژوهش فرض شده است معادلات سینتیک تحت تأثیر حضور  $N_2$ ، جز در مقدار فشار جزئی  $H_2$  و  $CO$  قرار نمی‌گیرند. به عبارت دیگر، هر گونه جزء ورودی از قبیل  $N_2$  که رقیق‌کننده جریان ورودی به آند است، در واکنش‌های جذب سطحی شرکت نمی‌کند.

#### ۴-۲- معادلات سینتیکی اجزاء

جهت مدل کردن واکنش‌های (۱) تا (۷) از معادلات سینتیکی اجزاء استفاده شده است. معادلات سینتیکی اجزاء برای پیل سوختی مسمومشده با مونواکسید کربن پس از تزریق اکسیژن به سوخت به صورت زیر می‌باشند [۸ و ۱۰].

در رابطه (۱۳)،  $\rho_g$  چگالی مخلوط گازی،  $S_m$  عبارت چشمی و  $\overrightarrow{U}$  بردار سرعت ظاهری مخلوط گازی می‌باشد که توسط رابطه (۱۴) با  
بردار سرعت ذاتی سیال  $\overrightarrow{U}$ ، متناسب می‌باشد [۲۱].

$$\overrightarrow{u_g} = \varepsilon(1-s)\vec{U} \quad (14)$$

در رابطه (۱۴)،  $\epsilon$  ضریب تخلخل الکترودهای متخالخل و  $\delta$  شباع آب مایع می‌باشد که نشان‌دهنده کسری از حجم فضای خالی حجم کنترل می‌باشد که توسط فاز مایع در قسمت الکترود اشغال شده است. در داخل کanal به دلیل وجود سیال خالص مقدار  $\epsilon$  برابر واحد و مقدار  $\delta$  برابر صفر بوده و بنایارین بردار سرعت ظاهری و واقعی درون کanal برابر می‌باشند، اما این دو پارامتر در داخل الکترودها مقداری بین صفر و یک دارند [۲۱].

• معادله بقاء، مومنتوم [٢١-٢٣]

$$\begin{aligned} & \frac{1}{\varepsilon(1-s)} \frac{\partial(\rho_g \overrightarrow{u_g})}{\partial t} + \frac{1}{\varepsilon^2 (1-s)^2} \nabla \cdot (\rho_g \overrightarrow{u_g} \overrightarrow{u_g}) = -\nabla P_g + \\ & \frac{1}{\varepsilon(1-s)} \nabla \cdot (\mu_g \nabla \overrightarrow{u_g}) - \frac{\mu_g}{KK_{rg}} \overrightarrow{u_g} \end{aligned} \quad (1\Delta)$$

آخرین عبارت سمت راست معادله (۱۵) نشان دهنده نیروی درگ دارسی اعمال شده توسط دیوارهای منافذ موجود در قسمت الکتروودهای متخلخل می باشد که منجر به یک افت فشار قابل توجه در ناحیه متخلخل پیل سوختی می شود که معمولاً به این عبارت، ترم ویسکوز در مقیاس میکرو یا ترم ویسکوز دارسی<sup>۱</sup> اطلاق می شود. همچنین، پارامتر  $K$  در معادله فوق، نفوذپذیری نسبی برای فاز گاز و  $K$  نفوذپذیری مطلق ماده متخلخل می باشد که مقدار آن برای الکتروودهای متخلخل بسیار کوچک و برای کanal گاز، بی نهایت در نظر گرفته شده است [۲۱].

• معادله انتقال اجزاء سمت آند

$$\frac{\partial(\rho_g \varepsilon(1-s)X_i)}{\partial t} + \nabla \cdot (\rho_g \vec{u}_g X_i) = \nabla \cdot (\rho_g D_i^{eff} \nabla X_i) + S_i \quad ,$$

$$i = h2, h2o, co, o2 \quad (18)$$

مقدار کسر جمیع میزان نسبت و وزن نیز به صورت ابطه (۱۷) محاسبه می‌شود.

۵-۲- معادلات حاکم بر جریان دوفاز سمت آند پیل سوختی یک سیستم الکتروشیمیایی است در آن فازهای مختلف نظیر فاز گاز، مایع و جامد در ارتباط همچنین در چنین سیستم‌هایی حرکت سیال در یک مداخله صورت گرفته که میزان تخلخل آن متغیر است. هم‌در بخش‌هایی از پیل سوختی واکنش‌های الکتروشیمیایی می‌گیرد؛ بنابراین از یک دیدگاه کلی، تحلیل یک پیل سوختی نباید تحلیل مسائلی است که درگیر مباحثی نظیر محیط‌های مداخله‌ای چند فازی، واکنش‌های شیمیایی و الکتروشیمیایی و حرارت می‌شوند. برای آنکه بتوان مدل جامعی برای چنین مسائلی داد، لازم است تا معادلات انتقالی حاکم بر متغیرهای فیزیکی در مسئله شناخته شده و حل شوند. در چنین سیستم‌هایی فرآیندهای الکتروشیمیایی به‌طور کلی توسط اصل الکتروشیمیایی برآورده می‌شوند. ادامه تشریح می‌شوند.

مدل دوفاز ارائه شده در این پژوهش یکی از انواع مدل‌های جریان دوفاز دو سیال محسوب می‌شود [۲۰]. در این مدل، هر فاز توسط یک دسته از معادلات بقاء معرفی می‌گردد و این دو فاز با حالت اشباع کوپل می‌شوند. فرض اساسی که در مدل دو سیال در نظر گرفته شده این است که آب مایع در نواحی متخلخل براثر برآیند نیروهای مویینگی و یا به عبارت دیگر فشار مویینگی به حرکت درمی‌آید [۲۱]. به همین دلیل ابتدا معادلات حاکم بر مخلوط گازی به صورت کامل حل می‌شوند و سپس معادلات حرکت آب مایع در نواحی متخلخل پیل سوتی حل می‌گردد. همچنین ارتباط بین دو فاز مایع و گاز از طریق عبارت چشمde مربوط به نرخ تبدیل فازها ( $S_g$ ) صورت می‌گیرد.

## ۱-۵-۲- معادلات حرکت فاز گازی

به طور کلی، انتقال مخلوط گازی درون کanal جریان و لایه‌های کاتالیست از اصول و قوانین پایستگی جرم، مومنتوم و اجزاء پیروی می‌کند که این معادلات به شکل زیر می‌باشند.

• معادله بقاء، حم

$$\frac{\partial(\rho_g \varepsilon(1-s))}{\partial t} + \nabla \cdot (\rho_g \overline{u_g}) = S_m \quad (13)$$

کاتالیست می‌باشد که مقدار آن برای هر کدام از گونه‌های گازی به فرم روابط (۲۳) تا (۲۵) می‌باشد [۱، ۸ و ۱۷].

$$q_{h2}^{ads} = k_{fh} P_{h2} (1 - \theta_{CO} - \theta_O - \theta_H)^n \quad (23)$$

$$q_{co}^{ads} = k_{fc} P_{co} (1 - \theta_{CO} - \theta_O - \theta_H) \quad (24)$$

$$q_{o2}^{ads} = k_{fo} P_{o2} (1 - \theta_{CO} - \theta_O - \theta_H)^n \quad (25)$$

در رابطه (۲۱)،  $S_{g-l}$  نرخ انتقال جرم آب به دلیل چگالش و تبخیر می‌باشد که به صورت رابطه (۲۶) تعریف می‌شود [۲۲ و ۲۷].

$$S_{g-l} = h_{pc} (P_v - P_{sat}) \quad (26)$$

در رابطه (۲۶) پارامتر  $h_{pc}$  مطابق رابطه (۲۷) تعیین می‌گردد.

$$h_{pc} = \frac{k_c \varepsilon (1-s) Y_{h2o}}{2RT} \left[ 1 + \frac{|P_v - P_{sat}|}{P_v - P_{sat}} \right] + \frac{k_e \varepsilon s \rho_l}{2M_{h2o}} \left[ 1 - \frac{|P_v - P_{sat}|}{P_v - P_{sat}} \right] \quad (27)$$

در سمت راست رابطه (۲۷) اولین ترم بیانگر نرخ چگالش و دومین ترم بیانگر نرخ تبخیر می‌باشد. همچنین در این رابطه،  $P_v$  فشار جزئی بخار آب،  $P_{sat}$  فشار اشباع آب در دمای  $T$ ،  $k_c$  ضریب نرخ چگالش،  $k_e$  ضریب نرخ تبخیر و  $\rho_l$  چگالی آب مایع می‌باشد. مقدار فشار اشباع آب نیز به کمک رابطه تجربی (۲۸) محاسبه می‌شود [۲۲، ۲۵ و ۲۷].

$$\log_{10} \frac{P_{sat}}{(T - 273.2)^2} = -2.1794 + 0.02953(T - 273.2) - 9.183 \times 10^{-5} + 1.445 \times 10^{-7} (T - 273.2)^3 \quad (28)$$

در رابطه (۲۸)، مقدار دما بر حسب کلوین بوده و فشار اشباع آب بر حسب اتمسفر محاسبه می‌گردد [۲۲].

**۲-۵-۲ معادله انتقال اشباع آب مایع در الکترودهای متخلخل**  
معادلاتی که تا به اینجا ارائه شدند روابط مربوط به انتقال مخلوط گازی در کanal و الکترودهای متخلخل بودند. زمانی که فشار بخار آب از فشار اشباع تجاوز می‌کند، چگالش شروع می‌شود و بنابراین در قسمت الکترودهای متخلخل آب مایع وجود خواهد داشت. درون الکترودهای متخلخل (لایه نفوذ گاز و لایه کاتالیستی) آب مایع توسط عمل مویینگی رانده می‌شود که این عمل مویینگی به صورت اختلاف بین فشار فاز مایع و گاز تعریف می‌شود. حال در این قسمت به بیان معادلات انتقال آب مایع درون الکترودهای متخلخل پرداخته می‌شود [۲۱].

$$X_{n2} = 1 - \sum_i X_i \quad , \quad i = h2, h2o, co, o2 \quad (17)$$

در رابطه (۱۶)،  $X_i$  و  $D_i^{eff}$  به ترتیب بیانگر کسر جرمی نفوذ جرمی مؤثر و عبارت چشمی مربوط به گونه  $i$  در مخلوط گازی می‌باشند. نفوذ جرمی مؤثر گونه‌ها برای جریان در نواحی متخلخل یعنی لایه نفوذ گاز و لایه کاتالیستی با استفاده از رابطه برآگمن<sup>۱</sup> به صورت زیر تعریف می‌گردد [۲۴ و ۲۵].

$$D_i^{eff} = D_i [\varepsilon (1-s)]^{1.5} \quad (18)$$

در رابطه (۱۸)،  $D_i$  ضریب نفوذ جرمی گونه  $i$  در یک سیستم غیر متخلخل می‌باشد و به صورت رابطه زیر به فشار و دمای کاری پیل سوختی مرتبط می‌گردد [۲۴-۲۶].

$$D_i = D_i^{ref} \left( \frac{T}{T_{ref}} \right)^{1.5} \left( \frac{p}{p_{ref}} \right)^{-1} \quad (19)$$

در رابطه (۱۹)،  $T_{ref}$  و  $p_{ref}$  به ترتیب، دمای مرجع، فشار مرجع و ضریب نفوذ جرمی مرجع گونه  $i$  می‌باشد. معادلات (۱۳) تا (۱۹) برای هر دو قسمت کanal و الکترودها به کار می‌روند و بنابراین نیاز به اعمال شرایط مرزی در سطوح فصل مشترک کanal-لایه نفوذ گاز و لایه نفوذ گاز-لایه کاتالیستی نمی‌باشد. همچنین آخرین عبارت سمت راست معادلات (۱۳) و (۱۶) بیانگر ترم چشمی یا چاه به دلیل واکنش‌های الکتروشیمیایی داخل لایه کاتالیستی می‌باشد که مقدار آن در دیگر قسمت‌های میدان حل صفر می‌باشد. این عبارت‌ها برای لایه کاتالیستی سمت آند پیل سوختی به صورت روابط (۲۰) تا (۲۲) بیان می‌گردد [۲۱].

$$S_i = -\left( \frac{q_i^{ads}}{2F} \right) M_{h2}(A_s), \quad i = h2, co, o2 \quad (20)$$

$$S_{h2o} = -\left( \beta \frac{i_a}{F} \right) M_{h2o}(A_s) - (S_{g-l}) M_{h2o} \quad (21)$$

$$S_m = \sum_i S_i \quad , \quad i = h2, h2o, co, o2 \quad (22)$$

در روابط فوق،  $i_a$  چگالی جریان سمت آند،  $F$  ثابت فارادی،  $\beta$  ضریب نرخ خالص انتقال آب از طریق غشاء در ازای عبور یک پروتون،  $M_{H_2}$  جرم مولکولی هیدروژن،  $M_{H_2O}$  جرم مولکولی بخار آب و  $A_s$  سطح مخصوص الکتروشیمیایی پیل سوختی می‌باشد. همچنین در رابطه (۲۰)،  $q_i^{ads}$  بیانگر نرخ جرمی جذب گونه  $i$  بر روی سطح

## ۶-۲- خواص ترمودینامیکی مخلوط گازی

برای محاسبه خواص ترمودینامیکی مخلوط گازی نظیر چگالی مخلوط از رابطه گاز ایده‌آل به صورت زیر استفاده می‌کنیم [۳۰].

$$\rho_{mix} = \left( \frac{MP_g}{RT} \right)_{mix} \quad (38)$$

$$M_{mix} = \frac{1}{\sum_i \left( X_i / M_i \right)} \quad (39)$$

در روابط (۳۸) و (۳۹)،  $\rho_{mix}$  چگالی مخلوط گازی،  $M_{mix}$  و  $M_i$  به ترتیب، جرم مولکولی مخلوط گازی و گونه  $i$  ثابت جهانی گازها،  $T$  دمای کاری پیل سوختی و  $P_g$  فشار مخلوط گازی می‌باشد. ویسکوزیته مخلوط گازی نیز از رابطه (۴۰) به دست می‌آید [۳۰].

$$\mu_{mix} = \sum_i X_i \mu_i \quad (40)$$

در رابطه (۴۰)،  $\mu_{mix}$  و  $\mu_i$  به ترتیب، ویسکوزیته مخلوط گازی و گونه  $i$  می‌باشند.

## ۷-۲- افت ولتاژهای درون پیل سوختی (مشخصات قطبیت)

افت پتانسیل پیل سوختی به دلیل اتلافهایی مانند افت فعال‌سازی سمت آند و کاتد که برابر اضافه ولتاژ لازم برای راندن واکنش‌دهنده به سطح کاتالیست می‌باشد و همچنین افت ولتاژ ناشی از مقاومت الکترودها در مقابل جریان الکترون و مقاومت الکتروولیت در برابر حرکت یون و سایر مقاومت‌های درونی پیل ناشی می‌شود؛ بنابراین، ولتاژ دریافتی از پیل سوختی به کمک رابطه (۴۱) که توسط مین<sup>۲</sup> ارائه شده است، محاسبه می‌گردد [۱۶ و ۳۱].

$$V_{cell} = V_{oc} - \eta_a - \eta_c - \eta_{ohmic} \quad (41)$$

در رابطه (۴۱)،  $V_{oc}$  ولتاژ مداریاز پیل سوختی،  $\eta_a$  افت فعال‌سازی سمت آند،  $\eta_c$  افت فعال‌سازی سمت کاتد و  $\eta_{ohmic}$  افت ناشی از مقاومت‌های درونی پیل سوختی می‌باشد که به صورت روابط (۴۲) تا (۴۴) محاسبه می‌گردد [۱۶ تا ۱۸].

$$\eta_a = \frac{RT}{\alpha_a F} \sinh^{-1} \left[ \left( \frac{1}{1-s} \right) \left( \frac{i_h}{2k_{eh} \theta_H} \right) \right] \quad (42)$$

## • معادله پیوستگی [۲۷]

$$\frac{\partial(\rho_l \varepsilon s)}{\partial t} + \nabla \cdot (\rho_l \vec{u}_l) = (S_{g-l}) M_{h2o} \quad (49)$$

در معادله (۴۹)،  $\vec{u}_l$  بردار سرعت ظاهری آب مایع می‌باشد. در محیط‌های متخلخل، بر اساس قانون دارسی، سرعت آب مایع از رابطه (۳۰) به دست می‌آید [۲۱].

$$\vec{u}_l = - \frac{KK_h}{\mu_l} \nabla P_l \quad (30)$$

در رابطه (۳۰)،  $K_h$  نفوذپذیری نسبی برای فاز مایع و  $P_l$  فشار آب مایع می‌باشد که به صورت رابطه (۳۱) با فشار مخلوط گازی ( $P_g$ ) ارتباط دارد [۲۱ و ۲۶].

$$P_l = P_g - P_c \quad (31)$$

در رابطه (۳۱)،  $P_c$  فشار مویینگی نامیده می‌شود و تابعی از کسر حجمی اشباع مایع می‌باشد. رابطه تجربی که بین فشار مویینگی و اشباع آب مایع وجود دارد به صورت رابطه (۳۲) می‌باشد [۲۸، ۲۷، ۲۵، ۲۴ و ۲۱].

$$P_c = \sqrt{\frac{\varepsilon}{K}} \sigma \cos \theta_c J(s) \quad (32)$$

در رابطه (۳۲)،  $\sigma$  کشش سطحی،  $\theta_c$  زاویه تماس و  $J(s)$  تابع معروف لورت<sup>۱</sup> می‌باشد که با توجه به آب گریز بودن و یا آب دوست بودن سطوح تماس ماده متخلخل الکترودها، این تابع به صورت روابط (۳۳) و (۳۴) بیان می‌شود [۲۹].

$$J(s) = 1.417s - 2.120s^2 + 1.263s^3, \theta_c > 90^\circ \quad (33)$$

$$J(s) = 1.417(1-s) - 2.120(1-s)^2 + 1.263(1-s)^3, \theta_c < 90^\circ \quad (34)$$

نفوذپذیری نسبی برای فاز گاز و مایع (در روابط (۱۵) و (۳۰)) به صورت روابط (۳۵) و (۳۶) تعریف می‌شود [۲۱ و ۲۵].

$$K_{rg} = (1-s)^3 \quad (35)$$

$$K_h = s^3 \quad (36)$$

حال با ترکیب روابط (۱۵)، (۳۰) و (۳۱) و جایگذاری در معادله پیوستگی فاز مایع (رابطه (۴۹)) به معادله اشباع آب مایع در حالت گذرا (رابطه (۳۷)) می‌رسیم که با حل این معادله، مقدار اشباع آب مایع در قسمت الکترودهای متخلخل محاسبه می‌گردد [۲۷ و ۲۱].

$$\frac{\partial(\rho_l \varepsilon s)}{\partial t} + \nabla \cdot \left( \rho_l \frac{\mu_g}{\mu_l} \frac{K_h}{K_{rg}} \vec{u}_g \right) = - \nabla \cdot \left( \rho_l \frac{KK_h}{\mu_l} \frac{dp_c}{ds} \nabla s \right) + (S_{g-l}) M_{h2o} \quad (37)$$

$$X_i = \frac{Y_i M_i}{\sum_i (Y_i M_i)} \quad (51)$$

شرط مرزی جریان توسعه یافته در خروجی کanal به صورت زیر اعمال شده است [۲۲].

$$\frac{\partial \vec{V}}{\partial x} = 0, \quad \frac{\partial X_i}{\partial x} = 0, \quad p = p_{out} \quad (52)$$

بر روی دیوارهای نیز شرط مرزی عدم لغش و عدم نفوذ جرم لحاظ می‌گردد [۲۲ و ۲۵].

$$\vec{V} = 0, \quad \frac{\partial X_i}{\partial n} = 0, \quad \frac{\partial P}{\partial n} = 0, \quad \frac{\partial S}{\partial n} = 0 \quad (53)$$

(جهت عمود بر دیواره  $n = 1$ )

لازم به ذکر است که لایه کاتالیستی آند به صورت حجم کنترل در نظر گرفته شده است و لذا مصرف واکنش دهنده‌ها در داخل لایه کاتالیستی به صورت عبارات چشمی مطابق روابط (۲۰) تا (۲۲) اعمال شده است و بنابراین شرط مرزی لایه کاتالیستی آند/غشاء به فرم رابطه (۵۳) اعمال می‌شود.

### ۳- روش عددی و الگوریتم حل

در این پژوهش، معادلات ارائه شده در بخش قبل شامل بقای جرم، مومنتوم، بقای اجزاء و اشباع آب مایع<sup>۱</sup> به همراه سایر معادلات کمکی به صورت همزمان حل می‌شوند و میدان‌های سرعت، فشار، غلظت هر یک از اجزاء واکنش شیمیایی و اشباع آب مایع به دست می‌آیند. جهت گسسته‌سازی معادلات حاکم بر جریان پیل سوتی، از روش حجم محدود استفاده شده است. شبکه‌بندی فضای محاسباتی به صورت غیریکنواخت بوده و حل عددی معادلات حاکم با استفاده از کد نویسی به زبان فرتون<sup>۲</sup> صورت گرفته است. همچنین برای حل معادلات بقای جرم، مومنتوم و پواسون فشار، الگوریتم سیمپل<sup>۳</sup> به کار گرفته شده است. شبکه مورداستفاده هم‌مکان<sup>۴</sup> بوده و برای جلوگیری از فشار نوسانی از درون یابی رای-چوی<sup>۵</sup> استفاده شده است. معادلات به صورت ضمنی و با استفاده از الگوریتم ماتریس سه قطری<sup>۶</sup> حل شده‌اند. شبیه‌سازی‌های انجام شده به صورت گذرا بوده و

$$\eta_c = \frac{RT}{\alpha_c F} \ln \left[ \left( \frac{1}{1-s} \right) \left( \frac{i_a}{i_{oc}} \right) \right] \quad (43)$$

$$\eta_{ohmic} = i_a R_{ohmic} \quad (44)$$

$$i_h = 2\theta_H k_{eh} \sinh \left( \frac{\eta_a}{b_h} \right) \quad (45)$$

$$i_{co} = k_{ec} \theta_{CO} e^{\frac{\eta_a}{b_{co}}} \quad (46)$$

$$i_a = i_h + i_{co} \quad (47)$$

در روابط (۴۲) تا (۴۷)،  $i_h$  چگالی جریان تولیدی از واکنش اکسایش هیدروژن،  $i_{co}$  چگالی جریان تولیدی از واکنش اکسایش کربن مونوکسید،  $i_a$  چگالی جریان کلی سمت آند،  $i_{oc}$  چگالی جریان تبادلی سمت کاتد،  $R_{ohmic}$  مقاومت اهمی پیل سوتی،  $\alpha_a$  ضریب انتقال بار سمت آند و  $\alpha_c$  ضریب انتقال بار سمت کاتد می‌باشد.

### ۴- شرایط مرزی

شرایط مرزی دیریکله برای مرز ورودی به کanal آند اعمال شده است که به صورت رابطه (۴۸) می‌باشد [۲۲، ۲۵، ۳۰، ۳۱].

$$u = u_{a,in}, v = 0, T = T_{cell}, s = 0, \frac{\partial P}{\partial x} = 0 \quad (48)$$

$$X_i = X_i^{in}, i = h2, h2o, o2, co$$

در رابطه (۴۸) مقدار سرعت ورودی به کanal،  $u_{a,in}$ ، به صورت تابعی از ضریب استوکیومتری جریان  $\psi$ ، با استفاده از روابط زیر حاصل می‌شود [۳۰ و ۳۱].

$$u_{a,in} = \xi \frac{I_{ref}}{2F} \frac{A_{MEA}}{A_{ch}} \frac{M_{h2}}{\rho_{h2}^{in}} \quad or \quad u_{a,in} = \xi \frac{I_{ref}}{2F} \frac{A_{MEA}}{A_{ch}} \frac{1}{C_{h2}^{in}} \quad (49)$$

$$\rho_{h2}^{in} = \frac{P_a M_{h2}}{RT} Y_{h2}^{in} \quad (50)$$

در روابط فوق،  $I_{ref}$  چگالی جریان مرجع،  $A_{MEA}$  مساحت هندسی  $A_{ch}$ ،  $MEA$  سطح مقطع کanal و  $P_a$  فشار کاری سمت آند پیل سوتی می‌باشد. همچنین کسر جرمی اجزاء در ورودی به شکل زیر به دست می‌آید.

1 Saturation of Liquid Water (S)

2 Fortran

3 SIMPLE (Semi Implicit Method for Pressure Linked Equation )

4 Co-Located

5 Rhee-Chow Interpolation

6 Tri-Diagonal Matrix Algorithm (TDMA)

زیادی می‌گذارند، در نظر گرفته نشده‌اند. به همین دلیل، در چگالی جریان‌های بالا، علاوه بر تشکیل آب مایع که باعث افت ولتاژ پیل سوختی می‌گردد (افت غلظتی)، کاهش نسبتاً زیاد غلظت اکسیژن نیز منجر به افزایش افت فعال‌سازی کاتد می‌شود و ولتاژ پیل سوختی را کاهش می‌دهد که در نظر گرفته نشدن این دو مورد باعث انحراف نتایج عددی از نتایج تجربی شده است.

#### ۴-۲- بررسی مسمومیت کاتالیست آند در حالت پایا

با حضور ناخالصی مونواکسید کربن در سوخت هیدروژن ورودی به آند (حتی به میزان غلظت بسیار کم) عملکرد پیل سوختی به شدت تحت تأثیر قرار می‌گیرد. در این بخش تأثیر ورود ناخالصی مونواکسید کربن به درون پیل سوختی به صورت پایا موربدبررسی قرار گرفته است. در شبیه‌سازی مسمومیت کاتالیست در حالت پایا مرتبه واکنش برابر دو فرض شده است ( $n=2$ ) و برای حل معادلات تعادلی از روابط تحلیلی موجود در مدل ارائه شده توسط اشپرینگر و همکاران [۶] استفاده شده است. در جدول ۲ (نمونه ۱) پارامترهای سینتیکی مورد استفاده جهت شبیه‌سازی مسمومیت کاتالیست آند در حالت پایا به همراه شرایط کاری پیل سوختی گزارش شده است و نتایج عددی حاصل به همراه نتایج عددی اشپرینگر و همکاران [۷] در شکل ۳ - الف ارائه شده است. همچنین، پارامترهای ارائه شده در جدول ۲ (نمونه ۲) مربوط به مدل‌سازی مسمومیت کاتالیست آند در حالت

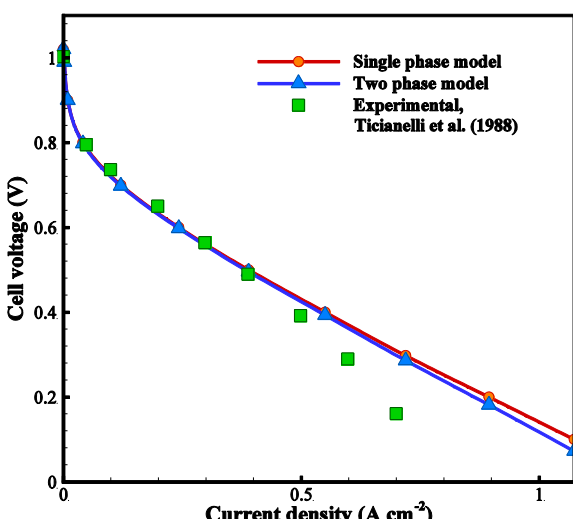
جهت بررسی همگرایی حل عددی در هر گام زمانی، در زمان‌های ابتدایی خطای نسبی به میزان ۱٪ و در سایر زمان‌ها به میزان ۰.۰۰۰۰۰۱٪ در نظر گرفته شده است. به منظور بررسی استقلال حل عددی از شبکه محاسباتی، شبکه‌بندی‌های مختلف بررسی شده‌اند و بر اساس نتایج، انتخاب شبکه  $30 \times 63$  انتخاب بهینه‌ای بوده و ریزتر نمودن ابعاد شبکه تأثیر چندانی بر نتایج ندارد (تعداد نقاط شبکه در جهت عمودی برای کانال جریان ۱۲، برای لایه نفوذ گاز ۱۲ و برای لایه کاتالیستی ۶ نقطه در نظر گرفته شده است).

#### ۴- تجزیه و تحلیل نتایج

در این بخش به منظور اعتبارسنجی نتایج حاصل از شبیه‌سازی عددی، ابتدا نتایج عددی مربوط به منحنی عملکردی پیل سوختی برای مدل تک‌فاز و دوفاز به همراه نتایج تجربی تیسیانلی و همکاران [۳۲] ارائه شده است که در شبیه‌سازی این قسمت از هیدروژن خالص به عنوان سوخت ورودی به آند استفاده شده است. سپس نتایج مربوط به تأثیر تزریق ناخالصی مونواکسید کربن به سوخت هیدروژن ورودی به آند بر چگالی جریان خروجی پیل سوختی در دو حالت پایا و گذرا ارائه و تحلیل شده‌اند. در انتهای نتایج مربوط به تأثیر تزریق هوا به سوخت مسموم شده بر عملکرد خروجی پیل سوختی گزارش شده است.

#### ۴-۱- اعتبارسنجی نتایج عددی

شکل ۲ تغییرات چگالی جریان را در ولتاژهای مختلف پیل سوختی و برای جریان تک‌فاز و دوفاز در مدل دوبعدی به همراه نتایج تجربی تیسیانلی و همکاران [۳۲] نشان می‌دهد. پارامترهای مورد استفاده در مدل‌سازی در جدول ۱ ارائه شده است. با بررسی نتایج شکل ۲ مشاهده می‌شود که نتایج عددی در چگالی جریان‌های پایین تطابق قابل قبولی با نتایج تجربی دارند؛ اما در محدوده چگالی جریان‌های بالا (بیشتر از  $40 \text{ A cm}^{-2}$ ) بین نتایج تجربی و عددی مقداری اختلاف وجود دارد و نتایج عددی مقدار چگالی جریان بیشتری را پیش‌بینی می‌کنند. با توجه به این‌که در این پژوهش، مدل‌سازی عددی تنها برای سمت آند پیل سوختی غشاء پلیمری صورت گرفته است و سمت کاتد لحاظ نگردیده است، لذا تغییرات صورت گرفته در سمت کاتد از جمله کاهش کسر جرمی اکسیژن، تشکیل آب مایع (در حالت دوفاز) و موارد مشابه دیگر که بر نمودار قطبیت پیل سوختی و به طور کلی بر عملکرد پیل سوختی تأثیرات



شکل ۲: منحنی قطبیت پیل سوختی حاصل از مدل‌سازی عددی و مقایسه با نتایج تجربی [۳۲]

Fig. 2: The simulated polarization curve and comparison with experimental data [32]

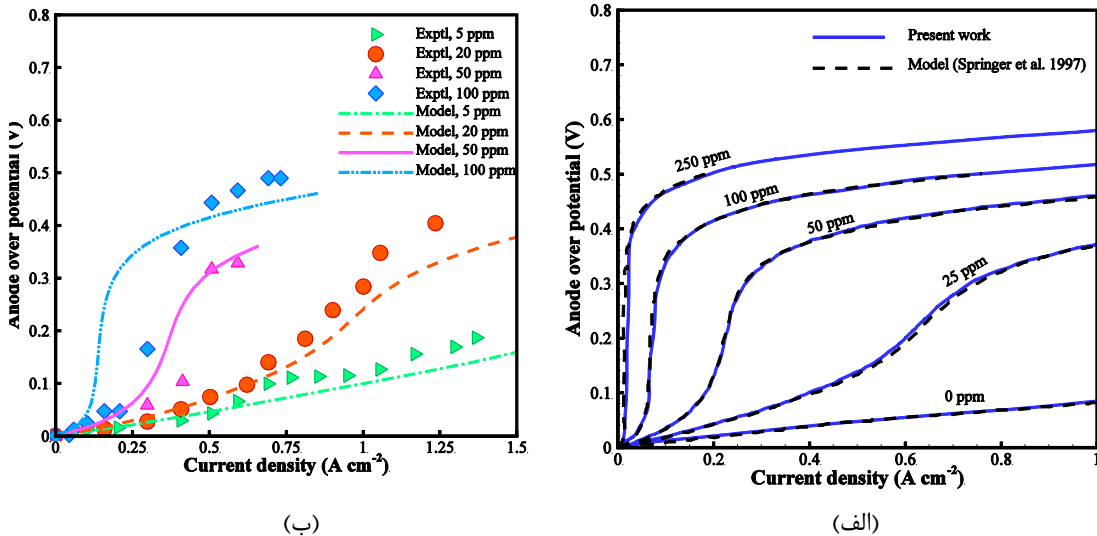
جدول ۱: پارامترهای مورد استفاده در شبیه‌سازی [۳۲]  
**Table 1: The parameters used in simulations [32]**

پارامتر	تعریف پارامتر	مقدار	واحد
$L$	طول کاتالیستی	$0.07112$	(m)
$H_{CH}$	ارتفاع کاتالیستی	$7.62 \times 10^{-4}$	(m)
$H_{GDL}$	ضخامت لایه نفوذ گاز	$2.54 \times 10^{-4}$	(m)
$H_{CL}$	ضخامت لایه کاتالیستی	$2.87 \times 10^{-5}$	(m)
$K_{gdl}$	نفوذ پذیری لایه نفوذ گاز	$1.76 \times 10^{-11}$	(m <sup>2</sup> )
$K_{cl}$	نفوذ پذیری لایه کاتالیستی	$1 \times 10^{-14}$	(m <sup>2</sup> )
$\epsilon_{GDL}$	ضریب تخلخل لایه نفوذ گاز	$0.4$	—
$\epsilon_{CL}$	ضریب تخلخل لایه کاتالیستی	$0.28$	—
$T_{cell}$	دماهی کاری پیل سوختی	$323$	(K)
$P_a$	فشار کاری آند	$3$	(atm)
$D_{H_2}^{ref}$	ضریب نفوذ مرجع هیدروژن	$0.915$	(cm <sup>2</sup> s <sup>-1</sup> ),(1atm,307K)
$D_{H_2O}^{ref}$	ضریب نفوذ مرجع بخار آب	$0.256$	(cm <sup>2</sup> s <sup>-1</sup> ),(1atm,307 K)
$\alpha_{a,c}$	ضریب انتقال بار سمت آند و کاتد	$0.5$	—
$i_{0,a}^{ref}$	چگالی جریان انتقالی آند	$1 \times 10^5$	(A m <sup>-2</sup> )
$R_{ohmic}$	مقاومت اهمی پیل سوختی	$0.5$	(Ω cm <sup>2</sup> )
$i_{oc}$	چگالی جریان تبادلی کاتد	$8$	(A m <sup>-2</sup> )
$V_{oc}$	ولتاژ مدار باز	$1.04$	(V)
$\xi$	ضریب استوکیومتری سوخت ورودی به آند	$3$	—
$\mu_{H_2}$	ویسکوزیته دینامیکی هیدروژن	$0.993 \times 10^{-5}$	(Pa s)
$\mu_{H_2O}$	ویسکوزیته دینامیکی بخار آب	$3.5 \times 10^{-5}$	(Pa s)
$\theta_{c,GDL}$	زاویه تماس در لایه نفوذ گاز	$110$	(°)
$\theta_{c,CL}$	زاویه تماس در لایه کاتالیستی	$95$	(°)
$k_e$	ثابت نرخ تبخیر	$1 \times 10^{-4}$	(Pa <sup>-1</sup> s <sup>-1</sup> )
$k_c$	ثابت نرخ چگالش	$5000$	(s <sup>-1</sup> )

افزایش پیدا می‌کند. همان‌طور که مشاهده می‌شود نتایج مدل‌سازی تطابق قابل قبولی با نتایج عددی اشپرینگر [۷] و نتایج تجربی لی و همکاران [۳۳] دارند که بیانگر درستی حل عددی می‌باشد. اشپرینگر و همکاران [۷] یک چگالی جریان بحرانی را معرفی کردند که بعد از آن لایه کاتالیستی به شدت تحت تأثیر مسمومیت

پایا و مقایسه نتایج عددی حاصل با نتایج تجربی لی و همکاران [۳۳] می‌باشد که این نتایج در شکل ۳ - ب ارائه شده است.

شکل ۳ منحنی تغییرات افت فعال‌سازی آند را در چگالی جریان‌های مختلف و در ناخالصی‌های مختلف مونوکسید کربن نشان می‌دهد که با افزایش چگالی جریان خروجی، مقدار اضافه ولتاژ آند



شکل ۳: منحنی تغییرات اضافه ولتاژ بر حسب چگالی جریان خروجی در غلظت های مختلف مونواکسید کربن (الف): مقایسه نتایج عددی با نتایج عددی اشپرینگر و همکاران [۷] (ب): مقایسه نتایج عددی با نتایج تجربی لی و همکاران [۳۳]

Fig. 3: Anode over potential for the various concentration of CO. (a) the comparison of present numerical results with the numerical results in Springer et al. [7]; (b) the comparison of present numerical results with the experimental data in Lee et al. [33].

سوختی تحت تأثیر کاتالیست مسموم شده قرار نمی‌گیرد که این ویژگی در نتایج شکل ۳ مشاهده می‌شود. مطابق نتایج حاصل از شبیه‌سازی، تنها زمانی که چگالی جریان از مقدار بحرانی فراتر می‌رود ولتاژ پیل سوختی بهشت افت می‌کند (افزایش شدید اضافه ولتاژ آند). این افزایش شدید اضافه ولتاژ آند باعث شتاب دادن به واکنش اکسایش مونواکسید کربن و حذف سریع مونواکسید کربن از لایه کاتالیستی می‌شود.

با بررسی نتایج شکل ۳ - ب مشاهده می‌شود که مقدار اضافه ولتاژ آند با افزایش غلظت مونواکسید کربن موجود در سوخت هیدروژن، افزایش پیدا می‌کند. همچنین، در این نتایج سه رژیم متمایز در غلظت‌های بالای مونواکسید کربن (۱۰۰ ppm و ۵۰ ppm) می‌باشد. در رژیم چگالی جریان‌های پایین (بین صفر تا  $1 A/cm^2$ ) قابل مشاهده است. در رژیم چگالی جریان‌های پایین (بین صفر تا  $100 ppm$  و بین صفر تا  $50 ppm$ ) افزایش نسبتاً کمی در مقدار اضافه ولتاژ آند مشاهده می‌شود. هنگامی که چگالی جریان از  $100 ppm$  بیشتر می‌شود، افزایش اضافه ولتاژ آند قابل توجه می‌شود که نشان می‌دهد عملکرد پیل سوختی بهشت تحت تأثیر مسمومیت مونواکسید کربن قرار می‌گیرد. هنگامی که چگالی جریان افزایش بیشتری پیدا می‌کند (بیشتر از  $50 ppm$  برای  $100 ppm$  و بیشتر از  $100 ppm$  برای  $100 ppm$ ) شیب تغییرات کاهش

مونواکسید کربن قرار می‌گیرد. این چگالی جریان بحرانی زمانی اتفاق می‌افتد که مقدار مونواکسید کربن به یک نقطه اشباع می‌رسد که در آن، نرخ جذب و دفع مونواکسید کربن به تعادل رسیده و نرخ اکسایش مونواکسید کربن بسیار ناچیز و نزدیک به صفر می‌باشد. در این نقطه بحرانی، مقدار مونواکسید کربن جذب شده ماکزیمم بوده و مقدار آن از طریق رابطه (۵۴) محاسبه می‌شود. همچنین در این حالت چگالی جریان تولید شده توسط واکنش اکسایش هیدروژن کمترین مقدار خود را دارد [۷].

$$\theta_{CO} = 1 - \left[ \frac{b_{fc}}{b_{fc} + P_{co}} \right] \quad (54)$$

با استفاده از معادلات تعادلی (۸) تا (۱۰) و با فرض صفر بودن  $k_{ec}$ ، مقدار چگالی جریان بحرانی به صورت رابطه زیر خواهد بود [۷].

$$i_{hl} = k_{fh} P_{H2} \left[ \frac{b_{fc}}{b_{fc} + P_{co}} \right]^n \quad (55)$$

رابطه (۵۵) نشان می‌دهد که با افزایش غلظت مونواکسید کربن چگالی جریان بحرانی کاهش پیدا می‌کند که این نتیجه با بررسی نتایج مدل‌سازی شکل ۳ نیز حاصل می‌شود. به عنوان مثال در شکل ۳ - ب با افزایش غلظت مونواکسید کربن از  $50 ppm$  به  $100 ppm$  چگالی جریان بحرانی از  $100 A/cm^2$  به  $13 A/cm^2$  کاهش پیداکرده است. برای چگالی جریان‌های کمتر از مقدار بحرانی، عملکرد پیل

**جدول ۲: پارامترهای مورد استفاده در شبیه‌سازی**  
**Table 2: The parameters used in simulations**

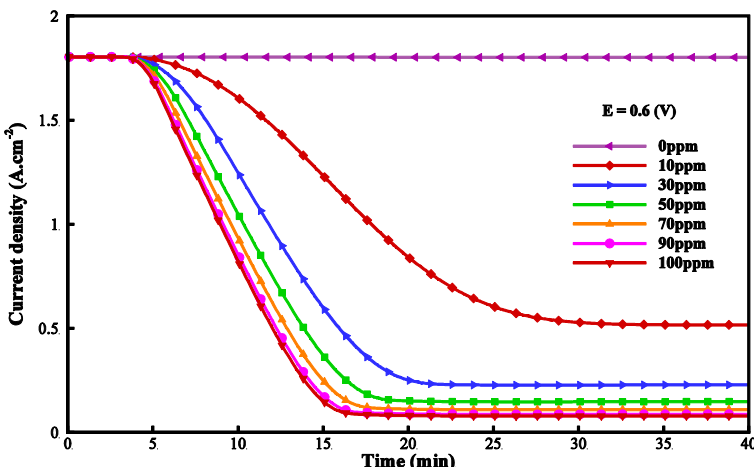
پارامتر	تعریف پارامتر	نمونه ۱ [۷]	نمونه ۲ [۲۲]	نمونه ۳ [۱۸]	نمونه ۴ [۱۶]	واحد
$b_{fc}$	ثابت تعادلی دفع CO	$2 \times 10^{-5}$	$4.5 \times 10^{-5}$	$1 \times 10^{-7}$	$2.75 \times 10^{-7}$	(atm)
$b_{fh}$	ثابت تعادلی دفع $H_2$	$0.5$	$0.5$	$0.062$	$0.5$	(atm)
$k_{fc}$	ثابت نرخ جذب CO	$0.06$	$0.06$	$300$	$10$	$(A \text{ cm}^{-2} \text{ atm}^{-1})$
$k_{fh}$	ثابت نرخ جذب $H_2$	$4$	$3$	$200$	$100$	$(A \text{ cm}^{-2} \text{ atm}^{-1})$
$k_{fo}$	ثابت نرخ جذب $O_2$	$-$	$-$	$3/9$	$-$	$(A \text{ cm}^{-2} \text{ atm}^{-1})$
$k_{ec}$	ثابت نرخ الکترواکسایش CO	$1 \times 10^{-9}$	$5 \times 10^{-9}$	$-$	$-$	$(A \text{ cm}^{-2})$
$k_{eh}$	ثابت نرخ الکترواکسایش $H_2$	$0.5$	$0.75$	$0.54$	$4$	$(A \text{ cm}^{-2})$
$k_{oh}$	ثابت نرخ اکسایش H - O	$-$	$-$	$600$	$-$	$(A \text{ cm}^{-2})$
$k_{oc}$	ثابت نرخ اکسایش CO - O	$-$	$-$	$100$	$-$	$(A \text{ cm}^{-2})$
$R_{ohmic}$	مقاومت اهمی پیل	$-$	$-$	$0/1$	$0/3$	$(\Omega \text{ cm}^2)$
$\rho_{pt}$	چگالی سطح کاتالیست ضربدر ثابت فارادی	$-$	$-$	$0/1$	$0/1$	$(C \text{ cm}^{-2})$
$i_{oc}$	چگالی جریان تبادلی سمت کاتد	$-$	$-$	$1/2 \times 10^{-5}$	$7 \times 10^{-4}$	$(A \text{ cm}^{-2})$
$V_{oc}$	ولتاژ مدارباز	$-$	$-$	$1/24$	$1/2$	(V)
$P_a$	فشار کاری سمت آند	$2$	$1/55$	$1$	$3$	(atm)
$T_{cell}$	دمای کاری پیل سوختی	$80$	$85$	$65$	$80$	(°C)
$\xi$	ضریب استوکیومتری جریان	$3$	$3$	$1/5$	$1/5$	-
$\alpha_c$	ضریب انتقال بار سمت کاتد	$-$	$-$	$1$	$0/5$	-
$\alpha_a$	ضریب انتقال بار سمت آند	$0/5$	$0/5$	$0/36$	$0/5$	-
$\alpha_{H,CO}$	شیب تافل در واکنش اکسایش CO هیدروژن و	$0/5$	$0/5$	$-$	$0/100$	-
$RH_a$	رطوبت نسبی سوخت ورودی	$0/0$	$0/100$	$0/100$	$0/100$	(%)
$L$	طول کانال	$0/07112$	$0/07$	$0/0707$	$0/07112$	(m)
$H_{CH}$	ارتفاع کانال	$7/62 \times 10^{-4}$	$1 \times 10^{-3}$	$2 \times 10^{-3}$	$7/62 \times 10^{-4}$	(m)
$H_{GDL}$	ضخامت لایه نفوذ گاز	$2/54 \times 10^{-4}$	$0/4 \times 10^{-3}$	$2/54 \times 10^{-4}$	$2/54 \times 10^{-4}$	(m)
$H_{CL}$	ضخامت لایه کاتالیستی	$2/87 \times 10^{-5}$	$2/87 \times 10^{-5}$	$2/465 \times 10^{-5}$	$2/87 \times 10^{-5}$	(m)

پیداکرده و اضافه ولتاژ آند با شیب ملایمی افزایش می‌یابد و مقدار ولتاژ پیل سوختی نیز به آرامی به صفر نزدیک می‌شود.

(۸) به جای ترم اکسایش هیدروژن از  $a_i$  استفاده شده است. دلیل آن صرفنظر کردن از ترم اکسایش مونواکسید کربن می‌باشد؛ زیرا در محدوده چگالی جریان‌هایی که در این پژوهش در نظر گرفته شده است، مقدار آن در مقایسه با ترم‌های جذب و دفع نسبتاً کوچکتر بوده و قابل صرفنظر کردن می‌باشد. همچنین در این رابطه از ترم مربوط به واکنش هیدروژن جذب شده با اکسیژن جذب شده نیز به

#### ۴-۳- بررسی مسمومیت کاتالیست آند در حالت گذرا

در این قسمت جهت مدل‌سازی و بررسی مسمومیت کاتالیست در حالت گذرا، در معادلات تعادلی ارائه شده روابط (۸) تا (۱۰)، در رابطه



شکل ۴: تأثیر غلظت مونواکسید کربن بر چگالی جریان خروجی

Fig. 4: The effect of CO concentration on the output current density

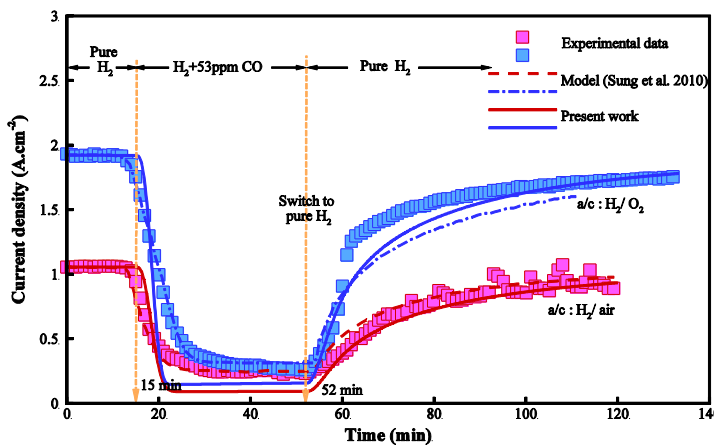
جریان پایا می‌شود، اما میزان این تغییرات با افزایش غلظت مونواکسید کربن به تدریج کاهش پیداکرده است به طوری که تغییر مقدار چگالی جریان پایا در غلظت‌های ۰ ppm تا ۱۰۰ ppm بسیار ناچیز می‌باشد؛ بنابراین حساسیت چگالی جریان پایا به غلظت مونواکسید کربن در غلظت‌های پایین بسیار بیشتر می‌باشد.

۴-۲-بررسی تأثیر حذف مونواکسید کربن از سوخت مسموم شده نتایج عددی شکل ۵ مربوط به تغییرات چگالی جریان پیل سوختی در طول زمان در ولتاژ ۰/۶ ولت و در غلظت ۵۳ ppm در دو حالت استفاده از هوا و اکسیژن به عنوان سوخت ورودی به کاتد می‌باشد. این نمودار پاسخ دینامیکی چگالی جریان پیل سوختی را بر حسب زمان نشان می‌دهد. در زمان ۱۵ دقیقه، ناخالصی مونواکسید کربن به میزان ۵۳ ppm وارد سوخت هیدروژن ورودی می‌شود که باعث افت شدید چگالی جریان در مدت زمان ۸ دقیقه ( $t = 23 \text{ min}$ ) می‌شود. هنگامی که از اکسیژن به عنوان سوخت ورودی به کاتد استفاده می‌شود، چگالی جریان حدود ۹۲٪ افت می‌کند (کاهش چگالی جریان از ۱۹۰۰ به ۱۵۰ mA cm<sup>-2</sup>) که نرخ کاهش جریان برابر  $150 \text{ mA cm}^{-2} \text{ min}^{-1}$  می‌باشد. هنگامی که از هوا به عنوان سوخت ورودی به کاتد استفاده می‌شود، چگالی جریان حدود ۹۰٪ افت می‌کند (کاهش چگالی جریان از ۱۰۵۰ به  $100 \text{ mA cm}^{-2}$ ) که نرخ کاهش جریان برابر  $100 \text{ mA cm}^{-2} \text{ min}^{-1}$  می‌باشد. علی‌رغم این که مقدار غلظت مونواکسید کربن موجود در سوخت بسیار کم (۵۳ ppm) می‌باشد، اما این میزان آلایندگی کم نیز سریعاً کاتالیست آند را مسموم می‌کند و لذا تأثیر تعیین‌کننده‌ای

دلیل ناچیز بودن صرفنظر شده است. در رابطه (۱۰) نیز از ترم دفع اکسیژن به دلیل کوچک‌تر بودن نسبت به سایر ترم‌ها صرفنظر شده است. همچنین در مدل‌سازی‌های حالت گذرا مرتبه واکنش به صورت درجه یک فرض شده است ( $n=1$ ).

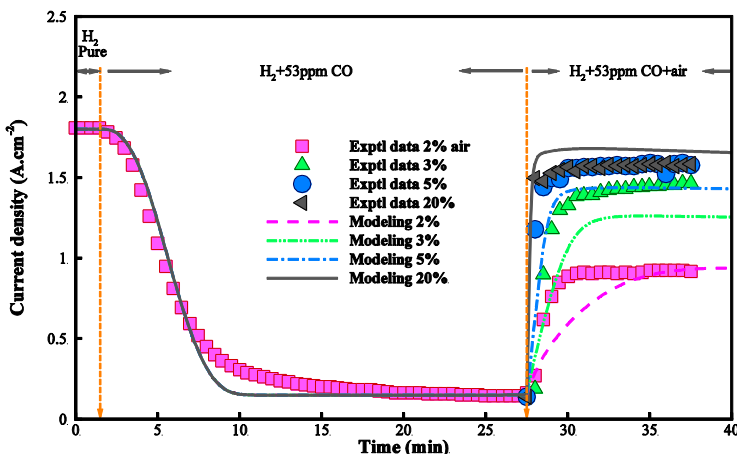
۴-۳-۱-بررسی تأثیر غلظت مونواکسید کربن بر چگالی جریان خروجی در شکل ۴ تأثیر غلظت مونواکسید کربن بر پاسخ دینامیکی مقدار چگالی جریان خروجی پیل سوختی نشان داده شده است. پارامترهای به کاررفته در مدل‌سازی این بخش در جدول ۲ (نمونه ۳) ارائه شده است.

هنگامی که مونواکسید کربن به سوخت تزریق می‌شود مقدار چگالی جریان به شدت کاهش پیدا می‌کند و پس از گذشت زمان طولانی درنهایت به مقدار ثابتی می‌کند. با افزایش غلظت مونواکسید کربن زمان لازم برای رسیدن به پاسخ پایا کاهش پیدا می‌کند. به عنوان مثال، در حالتی که غلظت مونواکسید کربن برابر ۱۰ ppm است، زمان پایا شدن تقریباً ۳۳ دقیقه بوده در حالی که در غلظت ۱۰۰ ppm این زمان به ۱۷ دقیقه کاهش پیداکرده است. غلظت مونواکسید کربن بر مقدار چگالی جریان پایا نیز تأثیرگذار می‌باشد. به طوری که افزایش غلظت مونواکسید کربن باعث کاهش مقدار چگالی جریان پایا شده است. مثلاً در غلظت ۱۰ ppm چگالی جریان پایا برابر  $0/51 \text{ A cm}^{-2}$  بوده که با افزایش غلظت مونواکسید کربن تا ۱۰۰ ppm این مقدار به  $0/06 \text{ A cm}^{-2}$  رسیده است. باوجود این که افزایش غلظت مونواکسید کربن باعث کاهش چگالی



شکل ۵: تأثیر حذف مونوکسید کربن از سوخت مسموم شده بر چگالی جریان خروجی و مقایسه با نتایج عددی و تجربی [۱۸]

Fig. 5: The effect of removing CO from the contaminated fuel on the output current density and comparing the results with the numerical and experimental results in Ref. [18]



شکل ۶: تأثیر تزریق هوا به سوخت مسموم شده بر چگالی جریان خروجی و مقایسه نتایج با نتایج تجربی [۱۸]

Fig. 6: The effect of anode air bleeding on the output current density and comparing the results with experimental data in Ref. [18]

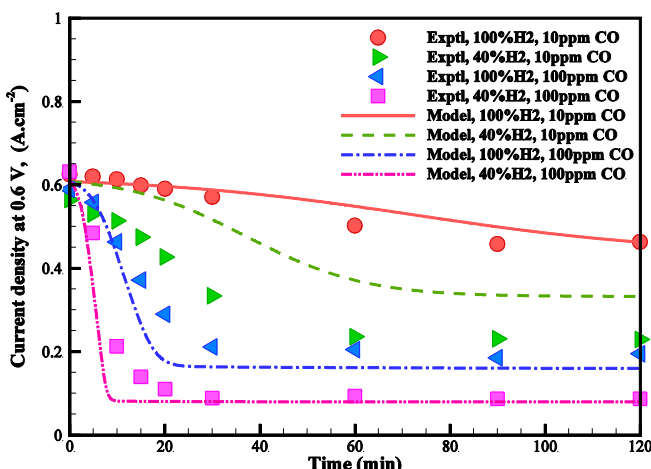
اولیه می‌رسد که این موضوع نشان می‌دهد اثر مسمومیت کاتالیست کاملاً از بین نرفته است.

به دلیل اینکه مقداری از ناخالصی مونوکسید کربن بر روی سطح کاتالیست جذب شده است، با حذف مونوکسید کربن از سوخت ورودی به آند این میزان مونوکسید کربن جذب شده روی سطح کاتالیست باقی می‌ماند و باعث می‌شود که اثر مسمومیت به کلی از بین نرود و بعد از گذشت زمان طولانی نیز همچنان اثر مخرب آن باقی بماند. روش‌های مختلفی جهت از بین بردن اثر مخرب مسمومیت باقیمانده بر روی سطح کاتالیست وجود دارد که در این پژوهش از روش تزریق هوا به سوخت مسموم شده استفاده شده است که نتایج آن در بخش بعدی ارائه می‌گردد.

بر عملکرد پیل سوختی می‌گذارد. بعد از گذشت حدود ۱۵ دقیقه از لحظه شروع آبودگی ( $t = 30\text{ min}$ ) چگالی جریان به یک مقدار پایا می‌رسد که در حالت استفاده از سوخت اکسیژن مقدار چگالی جریان پایا برابر  $147\text{ mA cm}^{-2}$  و در حالتی که هوا وارد کاتد می‌شود این مقدار برابر  $92\text{ mA cm}^{-2}$  می‌باشد که این شرایط پایا نمایانگر تعادل بین جذب و دفع مونوکسید کربن می‌باشد. وقتی که سوخت ورودی به آند از  $H_2/CO$  به هیدروژن خالص تغییر پیدا می‌کند ( $t = 52\text{ min}$ )، چگالی جریان خروجی پیل سوختی به تدریج افزایش می‌باشد. نرخ بازگشت<sup>۱</sup> چگالی جریان کم می‌باشد، به طوری که بعد از گذشت مدت زمان طولانی (حدود ۶۰ دقیقه) چگالی جریان به ۹۰٪ مقدار

بیشتر شدن درصد هوا تزریق شده به تدریج کاهش می‌یابد، به طوری که تزریق بیش از ۲۰٪ هوا به سوخت، بهبود بسیار ناچیزی را به همراه خواهد داشت که علت آن به این واقعیت ارتباط داده می‌شود که تزریق مقدار زیاد هوا به سوخت آند منجر به رقیق شدن غلظت هیدروژن می‌شود و همچنین ممکن است مقداری از هیدروژن توسط اکسیژن موجود در هوا اکسید شود.

**۴-۳-۴- بررسی اثر رقیق شوندگی سوخت مسموم شده**  
با تزریق هوا به سوخت مسموم شده (جهت کاهش اثر مسمومیت) مقداری نیتروژن نیز به سوخت تزریق می‌شود که با توجه به این فرض که نیتروژن در واکنش‌های سطحی شرکت نمی‌کند، نیتروژن تزریق شده باعث رقیق تر شدن سوخت هیدروژن می‌شود. بر این اساس، در این قسمت تأثیر رقیق شوندگی سوخت مسموم شده بر مقدار چگالی جریان خروجی به صورت گذرا بررسی شده و نتایج عددی حاصل با نتایج تجربی بهیتا و همکاران [۱۶] مقایسه و اعتبارسنجی شده است. نتایج عددی شکل ۷ مربوط به تغییرات چگالی جریان پیل سوختی در طول زمان در ولتاژ ۰/۶ ولت و در غلظت‌های مختلف مونواکسید کربن و همچنین در حالت استفاده و یا عدم استفاده از رقیق کننده همراه سوخت هیدروژن ورودی می‌باشد و همان‌طور که مشاهده می‌شود نتایج عددی تطابق قابل قبولی با نتایج تجربی دارند. پارامترهای به کاررفته در شبیه‌سازی این بخش در جدول ۲ (نمونه ۴) ارائه شده است.



شکل ۷: بررسی تأثیر رقیق شوندگی سوخت مسموم شده بر عملکرد پیل و مقایسه نتایج با نتایج تجربی [۱۶]

Fig. 7: The effect of diluting the contaminated fuel on cell performance and comparing the results with the experimental data in Ref. [16]

**۴-۳-۴- بررسی تأثیر تزریق هوا به سوخت مسموم شده**  
همان‌طور که قبلاً بیان شد، یکی از روش‌های کاهش اثر مخرب مسمومیت آند توسط مونواکسید کربن استفاده از هوا یا اکسیژن همراه سوخت ورودی می‌باشد که درواقع، با افزودن مقدار کمی اکسیژن به سوخت، مقدار چگالی جریان خروجی پیل سوختی افزایش می‌یابد و این امر باعث جبران افت چگالی جریان ناشی از مسمومیت آند و یا به عبارتی باعث خنثی کردن اثر مسمومیت می‌شود.

شکل ۶ نمودار تغییرات چگالی جریان پیل سوختی در ولتاژ ۰/۶ ولت در طول زمان را نشان می‌دهد. در این نمودار مقایسه‌ای بین نتایج تجربی [۱۶] و نتایج حاصل از مدل‌سازی عددی صورت گرفته است. در زمان‌های ابتدایی جریان سوخت هیدروژن خالص وارد کانال آند می‌شود. بعد از گذشت ۱/۵ دقیقه، ناخالصی مونواکسید کربن به میزان ۵۳ ppm به سوخت تزریق می‌شود که باعث کاهش مقدار چگالی جریان تولیدی (از ۱۸۰۰ mA cm⁻² در مدت زمان ۸/۵ دقیقه می‌شود. جهت بررسی تأثیر اضافه کردن هوا یا اکسیژن به سوخت دارای ناخالصی مونواکسید کربن، مقادیر مختلف هوا به سوخت ورودی در زمان ۲۷/۵ دقیقه تزریق می‌شوند و همان‌طور که نتایج نشان می‌دهند این امر سبب افزایش سریع مقدار چگالی جریان خروجی می‌شود. دلیل این افزایش چگالی جریان این است که اکسیژن موجود در هوا مونواکسید کربن جذب شده بر روی سطح کاتالیست را اکسید کرده که منجر به حذف مونواکسید کربن و تولید کربن دی‌اکسید می‌گردد. با حذف مونواکسید کربن، کاتالیست دواره فعال شده و هیدروژن بیشتر اکسید می‌شود و لذا چگالی جریان تولیدی افزایش می‌یابد.

هنگامی که ۲٪ هوا به سوخت هیدروژن تزریق می‌شود، چگالی جریان خروجی سریعاً از ۱۵۰ mA cm⁻² افزایش پیدا می‌کند (حدود ۳۰٪ چگالی جریان بازیابی می‌شود). هنگامی که ۳٪ هوا تزریق شود، چگالی جریان به ۱۲۶۰ mA cm⁻² افزایش پیدا می‌کند (حدود ۶۸٪ چگالی جریان بازیابی می‌شود)، هنگامی که ۵٪ هوا تزریق شود، چگالی جریان به ۱۴۳۵ mA cm⁻² افزایش می‌یابد (حدود ۷۸٪ چگالی جریان بازیابی می‌شود) و هنگامی که ۲۰٪ هوا تزریق شود، چگالی جریان به ۱۶۷۵ mA cm⁻² می‌رسد (حدود ۹۲٪ چگالی جریان بازیابی می‌شود). علیرغم این که افزایش درصد هوا تزریق شده به سوخت باعث بیشتر شدن چگالی جریان می‌شود اما میزان این افزایش با

• رقیق کردن سوخت هیدروژن مسموم شده توسط نیتروژن باعث تشدید افت چگالی جریان خروجی می‌شود (افزایش افت چگالی جریان از ۷۲٪ به ۸۶٪ در اثر رقیق شدن سوخت در غلظت ۱۰۰ ppm).

## فهرست علائم علائم انگلیسی

ثابت تعادلی دفع (atm)	<i>b</i>
غلظت مولی ( $\text{mol m}^{-3}$ )	<i>C</i>
ضریب پخش ( $\text{m}^2 \text{s}^{-1}$ )	<i>D</i>
چگالی جریان ( $\text{A cm}^{-2}$ )	<i>i</i>
ضریب نفوذپذیری ( $\text{m}^2$ )	<i>K</i>
فشار (Pa)	<i>P</i>
اشبع آب مایع	<i>s</i>
دما (K)	<i>T</i>
ولتاژ (V)	<i>V</i>
کسر جرمی ( $\text{kg kg}^{-1}$ )	<i>X</i>
کسر مولی ( $\text{mol mol}^{-1}$ )	<i>Y</i>
ضریب انتقال بار	<i>α</i>
نرخ انتقال آب از غشاء در ازای عبور یک پروتون	<i>β</i>
تخلخل (بدون بعد)	<i>ε</i>
لزجت دینامیکی ( $\text{kg m}^{-1} \text{s}^{-1}$ )	<i>μ</i>
زاویه تماس سطح (°)، کسر پوششی اجزاء در لایه کاتالیستی	<i>θ</i>
ضریب استوکیومتری	<i>γ</i>
چگالی ( $\text{kg m}^{-3}$ )	<i>ρ</i>
کشش سطحی ( $\text{N m}^{-1}$ )	<i>σ</i>
واکنش جذب سطحی	بالانویس‌ها
ضریب مؤثر	ads
فعال‌سازی	eff
میغان	زیرنویس‌ها
	act
	cond

با توجه به نتایج، هنگامی که غلظت مونوکسید کربن از ۱۰ ppm به ۱۰۰ ppm افزایش می‌یابد، مقدار افت چگالی جریان نیز از  $0.13 \text{ A cm}^{-2}$  به  $0.44 \text{ A cm}^{-2}$  افزایش پیدا می‌کند. لذا (همان‌گونه که قبل این نتیجه حاصل شد) افزایش غلظت ناخالصی مونوکسید کربن منجر به افزایش افت چگالی جریان می‌شود. همچنین استفاده از رقیق‌کننده همراه سوخت ورودی نیز باعث افزایش افت چگالی جریان شده است. به عنوان مثال، هنگامی که غلظت مونوکسید کربن برابر ۱۰۰ ppm است، افت چگالی جریان بدون استفاده از رقیق‌کننده برابر  $A \text{ cm}^{-2}$  بوده (حدود ۷۳٪ چگالی جریان اولیه افت کرده است) و در حالت استفاده از رقیق‌کننده برابر  $0.52 \text{ A cm}^{-2}$  می‌باشد (حدود ۸۶٪ چگالی جریان اولیه افت کرده است). استفاده از رقیق‌کننده جریان باعث می‌شود که هیدروژن کمتری به سطح کاتالیست برسد و واکنش اکسید شدن هیدروژن کاهش یابد و لذا جریان خروجی کمتری تولید خواهد شد.

## ۵- نتیجه‌گیری و جمع‌بندی

در این پژوهش به شبیه‌سازی تکفاز و دوفازی سمت آند پیل سوختی غشاء پلیمری پرداخته شد. همچنین، تأثیر آلایندگی سوخت هیدروژن بر عملکرد پیل سوختی و روش‌های کاهش اثر مخرب آلایندگی نیز بررسی شد. نتایج حاصل شده از این پژوهش به شرح زیر می‌باشند:

- حضور مقدار بسیار کم ناخالصی مونوکسید کربن در سوخت هیدروژن منجر به افت شدید عملکرد پیل سوختی می‌گردد (کاهش حدود ۷۰٪ چگالی جریان در غلظت ۱۰ ppm در حدود ۳۰ دقیقه).

- افزایش غلظت مونوکسید کربن باعث کاهش چگالی جریان بحرانی می‌شود و لذا پیل سوختی در چگالی جریان‌های کمتری دچار افت شدید عملکرد خواهد شد.

- افزایش غلظت مونوکسید کربن باعث افزایش اضافه ولتاژ سمت آند پیل سوختی و کاهش بیشتر چگالی جریان خروجی می‌گردد.

- حساسیت چگالی جریان حالت پایا به غلظت‌های کم مونوکسید کربن نسبت به غلظت‌های بالا بیشتر است.

- ترزیق هوا به سوخت مسموم شده باعث بازیابی سریع چگالی جریان ازدست‌رفته می‌گردد (بازگشت حدود ۸۰٪ چگالی جریان اولیه در مدت ۲ دقیقه در اثر ترزیق ۵٪ هوا در غلظت ۵۳ ppm).

- Journal of Energy Research, 27(12) (2003) 1095-1116.
- [9] T. Zhou, H. Liu, A 3D model for PEM fuel cells operated on reformat, Journal of Power Sources, 138(1) (2004) 101-110.
- [10] H. Chu, C. Wang, W. Liao, W. Yan, Transient behavior of CO poisoning of the anode catalyst layer of a PEM fuel cell, Journal of Power Sources, 159(2) (2006) 1071-1077.
- [11] C.-P. Wang, H.-S. Chu, Transient analysis of multicomponent transport with carbon monoxide poisoning effect of a PEM fuel cell, Journal of power sources, 159(2) (2006) 1025-1033.
- [12] U. Stimming, H. Oetjen, V. Schmidt, F. Trila, Performance Data of a Proton Exchange Membrane Fuel Cell Using H<sub>2</sub>/CO as Fuel, J. Electrochem. Soc, 143(12) (1996) 3838-3842.
- [13] M. Murthy, M. Esayian, A. Hobson, S. MacKenzie, W.-k. Lee, J. Van Zee, Performance of a polymer electrolyte membrane fuel cell exposed to transient CO concentrations, Journal of The Electrochemical Society, 148(10) (2001) A1141-A1147.
- [14] Z. Qi, C. He, A. Kaufman, Effect of CO in the anode fuel on the performance of PEM fuel cell cathode, Journal of Power Sources, 111(2) (2002) 239-247.
- [15] M. Murthy, M. Esayian, W.-k. Lee, J. Van Zee, The effect of temperature and pressure on the performance of a PEMFC exposed to transient CO concentrations, Journal of The Electrochemical Society, 150(1) (2003) A29-A34.
- [16] K.K. Bhatia, C.-Y. Wang, Transient carbon monoxide poisoning of a polymer electrolyte fuel cell operating on diluted hydrogen feed, Electrochimica Acta, 49(14) (2004) 2333-2341.
- [17] M. Hafttananian, A. Ramiar, A. Ranjbar, Novel techniques of oxygen bleeding for polymer electrolyte fuel cells under impure anode feeding and poisoning condition: A computational study using OpenFOAM®, Energy Conversion and Management, 122 (2016) 564-579.
- [18] L.-Y. Sung, B.-J. Hwang, K.-L. Hsueh, F.-H. Tsau, Effects of anode air bleeding on the performance of CO-poisoned proton-exchange membrane fuel cells, Journal of Power Sources, 195(6) (2010) 1630-1639.

مابع	lq
مخلوط	mix
مدار باز	oc
شرایط مرجع	ref
(نفوذ پذیری) نسبی گاز	rg
(نفوذ پذیری) نسبی مایع	rl
زاویه تماس سطح (°)، کسر پوششی اجزاء در لایه کاتالیستی	q
ضریب استوکیومتری	χ

## مراجع

- [1] N. Zamel, X. Li, Effect of ntaminants on polymer electrolyte membrane fuel cells, Progress in Energy and Combustion Science, 37(3) (2011) 292-329.
- [2] N. Zamel, X. Li, Transient analysis of carbon monoxide poisoning and oxygen bleeding in a PEM fuel cell anode catalyst layer, International Journal of Hydrogen Energy, 33(4) (2008) 1335-1344.
- [3] J. Baschuk, X. Li, Carbon monoxide poisoning of proton exchange membrane fuel cells, International Journal of Energy Research, 25(8) (2001) 695-713.
- [4] R.J. Bellows, E.P. Marucchi-Soos, D.T. Buckley, Analysis of reaction kinetics for carbon monoxide and carbon dioxide on polycrystalline platinum relative to fuel cell operation, Industrial & engineering chemistry research, 35(4) (1996) 1235-1242.
- [5] J. Divisek, H.-F. Oetjen, V. Peinecke, V. Schmidt, U. Stimming, Components for PEM fuel cell systems using hydrogen and CO containing fuels, Electrochimica Acta, 43(24) (1998) 3811-3815.
- [6] T. Springer, T. Rockward, T. Zawodzinski, S. Gottesfeld, Model for polymer electrolyte fuel cell operation on reformat feed: effects of CO, H<sub>2</sub>, dilution, and high fuel utilization, Journal of the Electrochemical Society, 148(1) (2001) A11-A23.
- [7] T. Springer, T. Zawodzinski, S. Gottesfeld, Modeling of polymer electrolyte fuel cell performance with reformat fuel feed streams, Los Alamos National Lab., NM (United States), 1997.
- [8] J. Baschuk, X. Li, Modelling CO poisoning and O<sub>2</sub> bleeding in a PEM fuel cell anode, International

- on performance of proton exchange membrane fuel cell with interdigitated gas distributors, *Energy*, 94 (2016) 206-217.
- [27] H. Meng, Numerical investigation of transient responses of a PEM fuel cell using a two-phase non-isothermal mixed-domain model, *Journal of Power Sources*, 171(2) (2007) 738-746.
- [28] N. Khajeh-Hosseini-Dalasm, K. Fushinobu, K. Okazaki, Three-dimensional transient two-phase study of the cathode side of a PEM fuel cell, *international journal of hydrogen energy*, 35(9) (2010) 4234-4246.
- [29] U. Pasaogullari, C. Wang, Liquid water transport in gas diffusion layer of polymer electrolyte fuel cells, *Journal of the Electrochemical Society*, 151(3) (2004) A399-A406.
- [30] X. Liu, W. Tao, Z. Li, Y. He, Three-dimensional transport model of PEM fuel cell with straight flow channels, *Journal of power sources*, 158(1) (2006) 25-35.
- [31] C.-H. Min, A novel three-dimensional, two-phase and non-isothermal numerical model for proton exchange membrane fuel cell, *Journal of Power Sources*, 195(7) (2010) 1880-1887.
- [32] E. Ticianelli, C. Derouin, A. Redondo, S. Srinivasan, Methods to advance technology of proton exchange membrane fuel cells, *Journal of the Electrochemical Society*, 135(9) (1988) 2209-2214.
- [33] S. Lee, S. Mukerjee, E. Ticianelli, J. McBreen, Electrocatalysis of CO tolerance in hydrogen oxidation reaction in PEM fuel cells, *Electrochimica Acta*, 44(19) (1999) 3283-3293.
- [19] P. Ribeirinha, M. Abdollahzadeh, J. Sousa, M. Boaventura, A. Mendes, Modelling of a high-temperature polymer electrolyte membrane fuel cell integrated with a methanol steam reformer cell, *Applied Energy*, 202 (2017) 6-19.
- [20] M. Ishii, K. Mishima, Two-fluid model and hydrodynamic constitutive relations, *Nuclear Engineering and design*, 82(2-3) (1984) 107-126.
- [21] X. Liu, G. Lou, Z. Wen, Three-dimensional two-phase flow model of proton exchange membrane fuel cell with parallel gas distributors, *Journal of Power Sources*, 195(9) (2010) 2764-2773.
- [22] H. Meng, A two-phase non-isothermal mixed-domain PEM fuel cell model and its application to two-dimensional simulations, *Journal of Power Sources*, 168(1) (2007) 218-228.
- [23] H. Meng, Multi-dimensional liquid water transport in the cathode of a PEM fuel cell with consideration of the micro-porous layer (MPL), *international journal of hydrogen energy*, 34(13) (2009) 5488-5497.
- [24] T. Berning, D.M. Lu, N. Djilali, Three-dimensional computational analysis of transport phenomena in a PEM fuel cell, *Journal of power sources*, 106(1) (2002) 284-294.
- [25] M.K. Baboli, M. Kermani, A two-dimensional, transient, compressible isothermal and two-phase model for the air-side electrode of PEM fuel cells, *Electrochimica Acta*, 53(26) (2008) 7644-7654.
- [26] A. Ramiar, A. Mahmoudi, Q. Esmaili, M. Abdollahzadeh, Influence of cathode flow pulsation